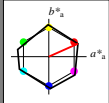


Eingabe: Farbmetrisches Reflexions-System NRS11

für Buntton $h^* = lab^*h = 24/360 = 0.067$
 lab^*ch und lab^*nch

D65: Buntton R
 LCH[°]Ma: 53 84 24
 rgb[°]Ma: 1.0 0.0 0.0

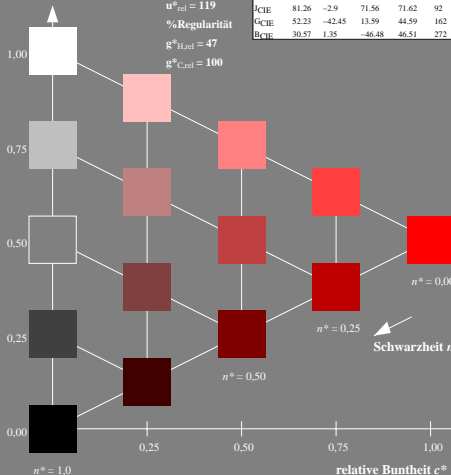


NRS11; adaptierte CIELAB-Daten

	L^*	a^*_a	b^*_a	$C^*_{ab,a}$	$h^*_{ab,a}$
R _{Ma}	53.2	77.06	34.32	84.36	24
J _{Ma}	53.2	-1.51	84.38	84.39	91
G _{Ma}	53.2	-82.27	18.98	84.44	167
G _{50B} Ma	53.2	-77.72	-32.98	84.44	203
B _{Ma}	53.2	4.37	-84.28	84.41	273
B _{50R} Ma	53.2	69.09	-48.41	84.37	325
N _{Ma}	10.99	0.0	0.0	0.0	0
W _{Ma}	95.41	0.0	0.0	0.0	0
R _{CIE}	39.92	58.69	27.98	65.01	25
J _{CIE}	81.26	-2.9	71.56	71.62	92
G _{CIE}	52.23	-42.45	13.59	44.59	162
B _{CIE}	30.57	1.35	-46.48	46.51	272

Dreiecks-Helligkeit t^*

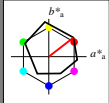
%Umfang
 $u^*_{rel} = 119$
 %Regularität
 $g^*_{H,rel} = 47$
 $g^*_{C,rel} = 100$



Ausgabe: Farbmetrisches Reflexions-System ORS18

für Buntton $h^* = lab^*h = 38/360 = 0.105$
 LAB^*LCH , LAB^*NCH

D65: Buntton O
 LCH[°]Ma: 48 83 38
 rgb[°]Ma: 1.0 0.0 0.0

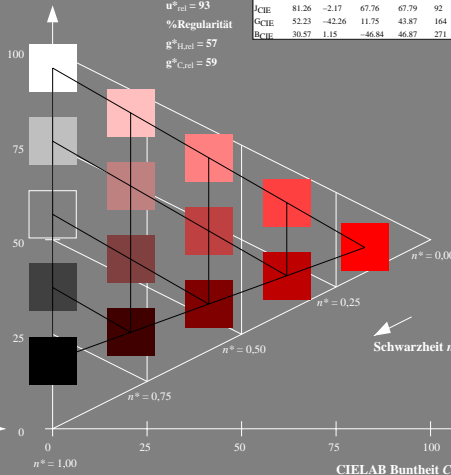


ORS18; adaptierte CIELAB-Daten

	L^*	a^*_a	b^*_a	$C^*_{ab,a}$	$h^*_{ab,a}$
O _{Ma}	47.94	65.37	50.52	82.62	38
Y _{Ma}	90.37	-10.27	91.77	92.34	96
L _{Ma}	50.9	-62.79	34.95	71.87	151
C _{Ma}	58.62	-30.35	-45.01	54.3	236
V _{Ma}	25.71	31.11	-44.42	54.24	305
M _{Ma}	48.13	75.27	-8.35	75.73	354
N _{Ma}	18.01	0.0	0.0	0.0	0
W _{Ma}	95.41	0.0	0.0	0.0	0
R _{CIE}	39.92	58.66	26.98	64.56	25
J _{CIE}	81.26	-2.17	67.76	67.79	92
G _{CIE}	52.23	-42.26	11.75	43.87	164
B _{CIE}	30.57	1.15	-46.84	46.87	271

CIELAB-Helligkeit L^*

%Umfang
 $u^*_{rel} = 93$
 %Regularität
 $g^*_{H,rel} = 57$
 $g^*_{C,rel} = 59$



TG270-7, 5-stufige Reihen für konstanten CIELAB Buntton 24/360 = 0.067 (links)

5-stufige Reihen für konstanten CIELAB Buntton 38/360 = 0.105 (rechts)

BAM-Prüfvorlage TG27; Farbmetrik-Systeme NRS11 & ORS18 input: *olv* setrgbcolor*
 D65: Koordinaten-Systeme von 5stufigen Farbreihen für 10 Buntton output: *no change compared to input*